

Compte rendu de la réunion e^\pm dans le PS No. 6
du 23 novembre 1982

Personnes présentes : Y. Baconnier, S. Battisti (point 3), E. Brouzet, R. Cappi, J.P. Delahaye, R. Garoby, U. Jacob, J.P. Potier, T. Risselada, J.P. Riunaud, H-H. Umstätter.

* * * * *

Agenda :

1. Spécifications pour le hardware de la RF.
2. Le wiggler - status report (H-H. Umstätter).
3. L'instrumentation e^\pm (J.P. Riunaud).

Prochaine réunion : une convocation sera envoyée ultérieurement

Agenda

1. Commentaires à la dernière version du rapport "LEP Injection System", (cette dernière version sera distribuée avec la convocation).
2. Arrangements des sections droites pour l'installation de l'équipement e^\pm (U. Jacob) (voir PS/PSR/Note 82-12).

J.P. Riunaud

Distribution :

Personnes présentes
G. Gelato
K.H. Reich
E. Schulte

1- Spécifications pour le hardware de la RF

1.1 — Les spécifications initiales mentionnées à la réunion PS-LEP N° 17 (voir aussi CR et N° 3) représentent les spécifications minimum permettant de réaliser les opérations de "bunch expansion" ou "bunch compression" prévues avec les e^\pm . (voir PS/PSR/Note 82-12 R. Caffi).

Elles ont conduit à une première évaluation grossière des caractéristiques de la cavité par W. Pirlot :

$$f_0 = 114.5 \text{ MHz} ; \frac{R}{Q} = 93 \Omega ; Q = 40000 ; 1 \text{ MV} ; 160 \text{ kW} ; 180 \text{ rad/s droite}$$

avec un amortissement de l'impédance flottant sur les cycles proton d'un facteur ≈ 10000 , pour limiter l'augmentation du $| \frac{\delta}{n} |$ à 252.

1.2 — Ces caractéristiques amènent un certain nombre de questions :

- (i) La variation de position radiale en cours d'accélération est limitée à $\pm 1.25 \text{ mm}$ par la bande passante de la cavité. Cette variation, en principe suffisante pour les opérations prévues, semble cependant trop limitative pour l'avenir.

On peut y remédier soit en réduisant le Q de la cavité, mais en augmentant la puissance à livrer dans ces mêmes protons; soit en modifiant l'accord de la cavité en cours d'accélération par un dispositif mécanique à réponse relativement rapide (ms)

(ii) la possibilité d'introduire une boucle de phase est exclue avec une cavité de $Q=40\ 000$ car la bande passante instantanée (2.8 kHz) n'est pas suffisante pour laisser passer la fréquence synchrotronique ($\sim 8\text{ kHz}$ à 8.5 GeV).

Un remède serait, là aussi, un élargissement de la bande passante d'un facteur au moins 4, conduisant à une puissance dissipée peut-être trop importante pour une seule section droite.

De plus avec une bande passante plus large, le temps de montée des instabilités de Robinson sera plus court, alors qu'il est de l'ordre de $\sim 100\text{ ms}$ avec une cavité à $Q=40\ 000$.

Ce fournirait aussi réduire la tension RF à l'ame énergie pour déclencher la fréquence synchrotronique et la faire entrer dans la bande passante de la cavité (à étudier).

(iii) le temps de croissance des instabilités longitudinales des potences à 114 MHz et aux fréquences plus élevées, lorsque la cavité est court-circuitée, devra être évalué pour estimer quel facteur d'amortissement devra affronter le court-circuit.

La valeur du $|z|$ introduit par la cavité fournit et, que l'on espère avoir bâtie que possible, reste encore une incertitude.

1.3— Pour la prochaine réunion PS-LEP la présentation des

(3)

Spécifications pour le Hardware de la RF sera similaire à la présentation pour l'EPA ; c'est à dire reprendra les spécifications minimum avec quelques marges de sécurité et portera des précisions sur les intensités accélérées et leurs variations.

La présentation sera faite par R. Garoby ou R. Caffi.

1.4 Pour la suite des études sur les implications du hardware de la RF, d'autres personnes seront contactées (K. Hubner, D. Boussard...) car des problèmes similaires doivent être rencontrés au SPS et à LEP.

2 - Le Wiggle - status report (H.H. Unstätter) :

2.1 — des caractéristiques générales du wiggle prototype découlent de deux contraintes principales :

- (i) le gradient maximum que l'on peut obtenir, limité par la position du pôle neutre au plus près de la chambre à vide, c-a-d à 8 cm du centre.
- (ii) la longueur disponible dans une section droite F courte ($\approx 1m$)

Les caractéristiques sont résumées ci-dessous :

— Avantages à fonctions combinées :

$$\begin{array}{ll} \text{champ au centre :} & -66 \text{ T} \\ \text{gradient :} & 8.25 \text{ T.m}^{-1} \end{array}$$

- Constitué de 4 blocks espacés de 11 cm
- longueurs des blocs centraux : 146 cm
- " " " " extrêmes : 134 cm
- Longueur effective de bending : 80 cm
(dont 56 cm de fer et 24 cm d'air)
- Longueur effective de wiggler : 65.4 cm
- Variation de J_E (avec $B = .66T$) : - 1.6
- Amplitude de la déformation d'orbite : - 3.4 mm

Il est prévu de l'alimenter avec une alimentation Tcheléc programmée pour suivre le champ magnétique.

La polarité sera telle que la déformation d'orbite sera vers l'intérieur. En effet, une déformation vers l'extérieur, équivalente pour l'effet wiggler, nécessite un déplacement des blocs centraux vers l'extérieur, déplacement qui n'est pas possible à cause de l'encombrement mécanique.

L'Annexe I donne des précisions sur les paramètres, le profil du pôle, le champ le long de l'axe, et le gradient en fonction de la position radiale.

2.2 Il reste encore quelques problèmes à étudier quand le prototype sera disponible :

- (i) Corriger par des shims la variation de B_{dl} en fonction de la position radiale.

(ii) Evaluer la constante de temps qui risque d'être grande car les flagées extrêmes de 1 cm introduisent une constante de temps de $\approx 1\text{ s}$, alors qu'elle est de $\approx 10\text{ ms}$ dans les 12 autres cm de toiles feutlettées. La programmation de la Tekelec aura tenu compte de cette constante de temps.

(5)

(iii) Evaluer le champ maximum que l'on peut produire et la saturation obtenue.

2.3 En ce qui concerne le planning:

Les contrats sont signés ; l'assemblage est prévu pour fin Mai 83 ; des mesures magnétiques et corrections par shunt seront ensuite entreprises.

L'installation dans le PS est prévue pour l'automne 83 (une installation dans une machine à électrons n'a pas été possible).

3 Instrumentation e[±] (J.P. Riouaud)

Pour compléter la revue de l'instrumentation e[±] faite pour l'EPA et les lignes de transfert (voir PS/LPI/Note 82-14) un inventaire des besoins a été fait pour le PS.

d) Annexe II présente les caractéristiques des faisceaux definis la ligne de transfert EPA/PS jusqu'à la ligne de transfert PS/SPS dans les différentes variantes d'opération prévues à ce jour (voir LEP note 395)

^a Annexe III donne la revue des besoins pour mesurer les caractéristiques des faisceaux aux différents points de la chaîne.

Quelques points ont été soulevés lors de la discussion :

- (i) Disposer à nouveau du signal analogique du transfo dit "intermédiaire". On ne dispose actuellement que de transfos rapides (pour voir les premiers tours) ou lents (pour voir tout le cycle). Le transfo intermédiaire permettrait de voir les 1^{er} ns mais semble ne plus être disponible.
- (ii) Une étude d'échauffement des fils des SFR grids avec les électrons sera entreprise (J.P. Potier), car la perte d'énergie des électrons par finctionnement est beaucoup plus grande que pour les protons.
- (iii) Un deuxième coupleur directionnel sera nécessaire car celui qui est installé en SD98 est directif.
De plus sa limite inférieure de bande passante ($\approx 100\text{MHz}$) est un peu haute.
- (iv) La résolution obtenue à CESR avec le synchrotron light monitor est de 20 ps (pour l'ensemble de l'appareillage).
- (v) Un Resistive wall monitor va être installé dans la ligne TT70, à côté de la nouvelle pick up large bande.
Un moniteur de ce type devrait aussi être installé dans l'anneau.

(vi) Les possibilités d'utilisation du wire scanner doivent être étudiées, comme pour les SEM-Grids (échauffement et diffusion). (7)

¶ Annexe IV donne l'instrumentation actuellement installée dans les lignes TT2 et TT70. Pour le fonctionnement avec e[±] de nombreux capteurs peuvent être utilisés mais l'électronique de traitement doit être refaite, ou adaptée dans la plupart des cas. Principalement à cause des caractéristiques du faisceau dans ces lignes (voir Annexe II. 2).

NB : Un inventaire de l'instrumentation actuelle du faisceau au PS vient de paraître, dans la note PS/DL/82-2. (V. Agoritsas et al.)

PARAMETERS OF ROBINSON WIGGLER

momentum position in PS: F-type straight section
vacuum chamber dimensions (outer)
reduced vertical:

air gap on orbit
distance of neutral pole
hyperbolic pole profile $y = \frac{3148 \text{ cm}}{(x+8 \text{ cm})}$
length of straight section
magnetic bending length
effective length for $d(B^2)/dx$
magn. induction on orbit (approx.)

ampere turns
conductor:
bore diameter
copper cross section
total resistance
inductance

pulsed power loss $R^* I^*^2 T_{700}$ ($I=600 \text{ A}$)
power supply

$p=3.5 \text{ Gev/c}$

$a=75 \text{ mm}$
 $b=30 \text{ mm}$

$2g=79.5 \text{ mm}$

$4L=1000 \text{ mm}$
 $4L=800 \text{ mm}$
 $4L=650 \text{ mm}$
 $B=.66 \text{ Tesla}$

$n^I=40 \times 600 \text{ A}$
 $C_U = 8 \text{ mm} \times 8 \text{ mm}$
 3.5 mm
 $a=53.5 \text{ mm}^2$
 $R=0.077 \text{ Ohm}$
 $L=32 \text{ mH}$

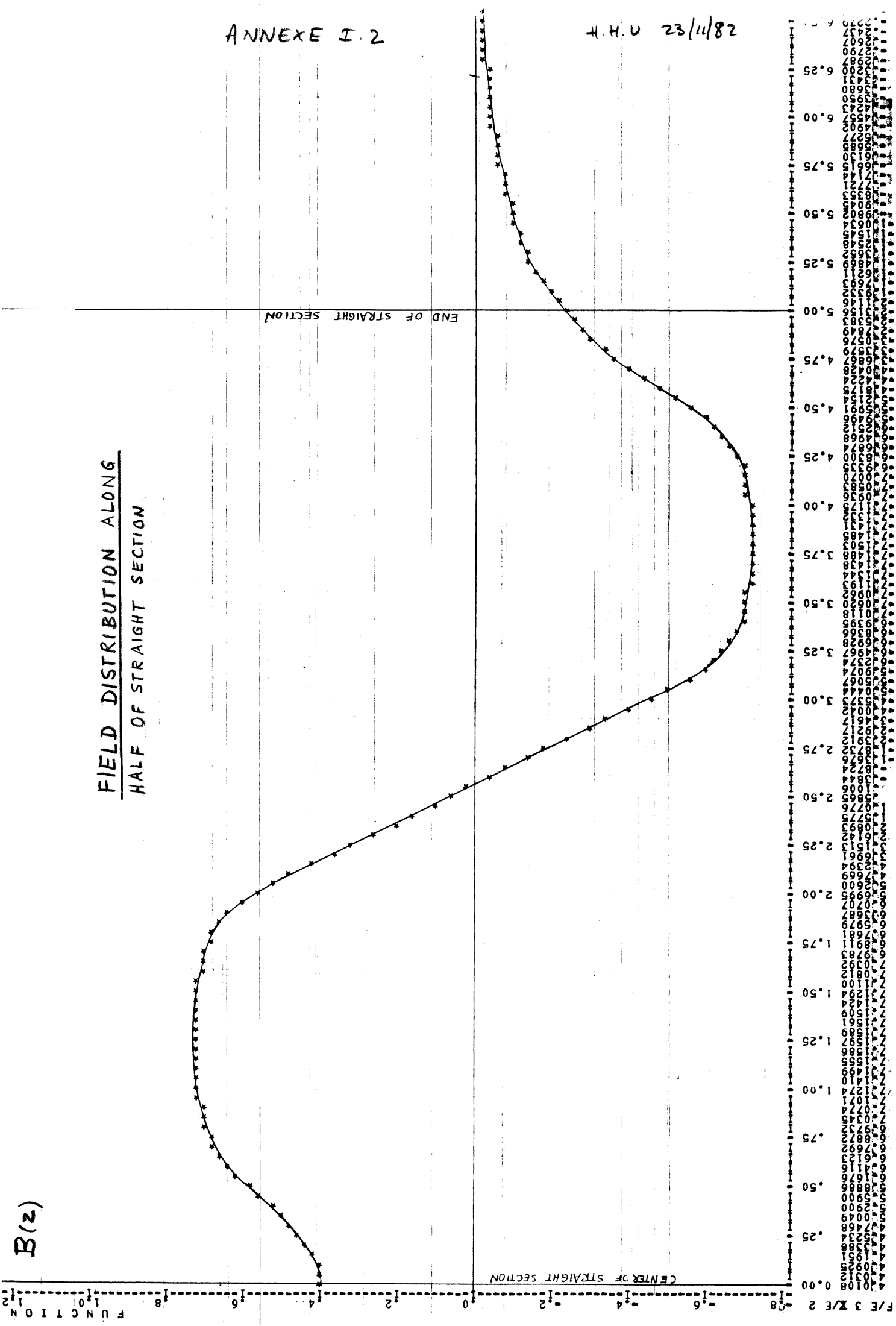
$P=27.7 \text{ kW}$
 $I=700 \text{ A peak}$
 $I=430 \text{ A dc.}$

AZNEE H.1

H.H.O 23/11/82

$B(z)$

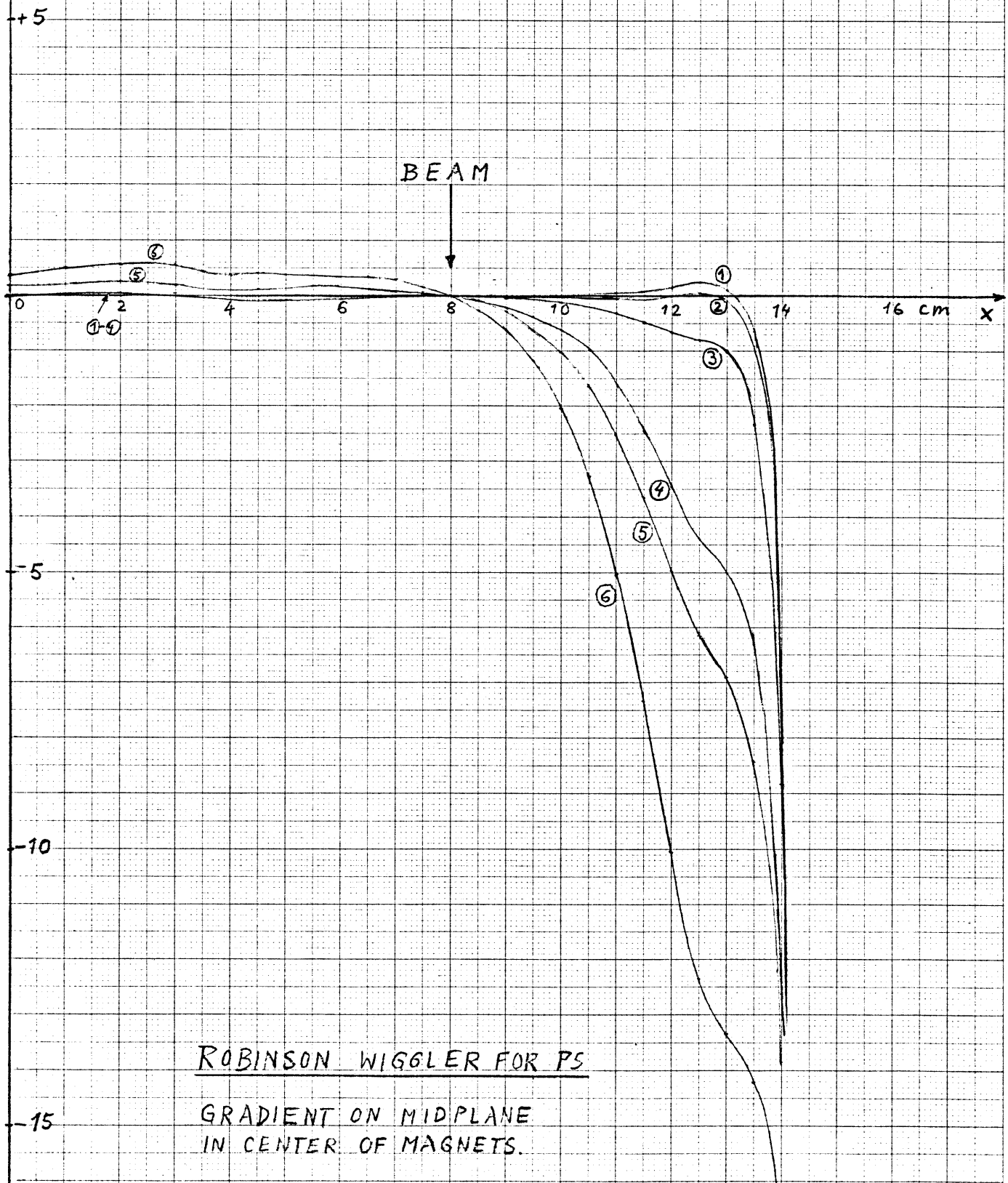
FIELD DISTRIBUTION ALONG
HALF OF STRAIGHT SECTION



% GRADIENT

ANNEXE I.3

H.N.U 3-12-82



$$1 = .359 \text{ Tesla}$$

$$2 = .447$$

$$3 = .530$$

$$4 = .591$$

$$5 = .639$$

$$6 = .666$$

H.H.U. 22/11/82

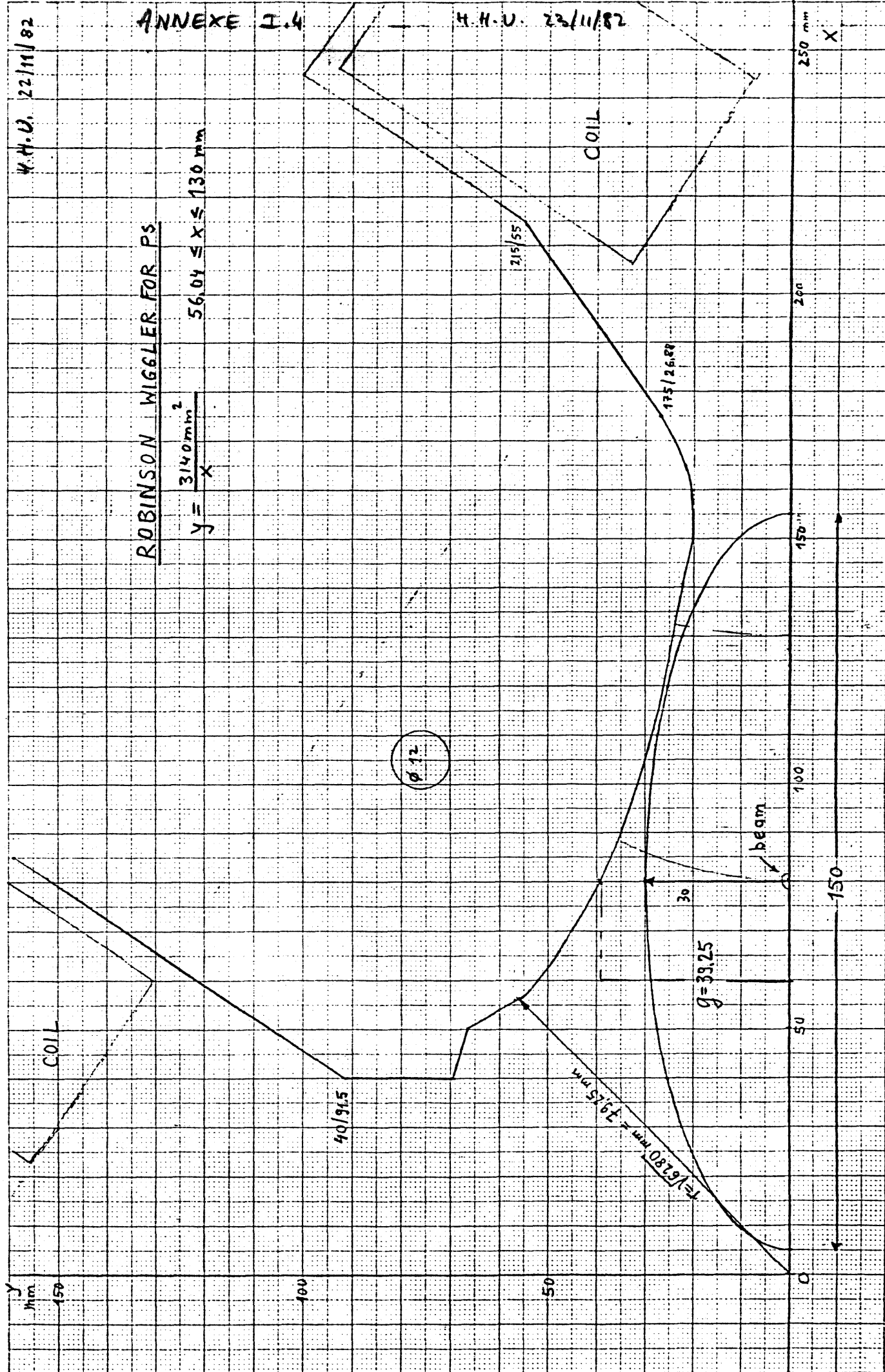
ANNEXE I.4

H.H.U. 23/11/82

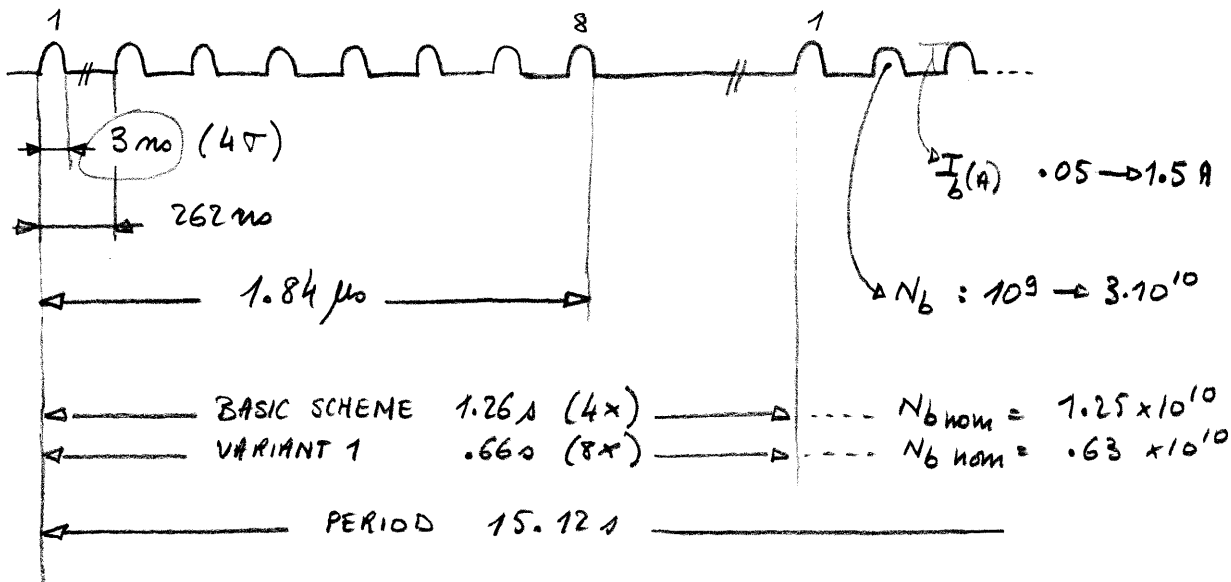
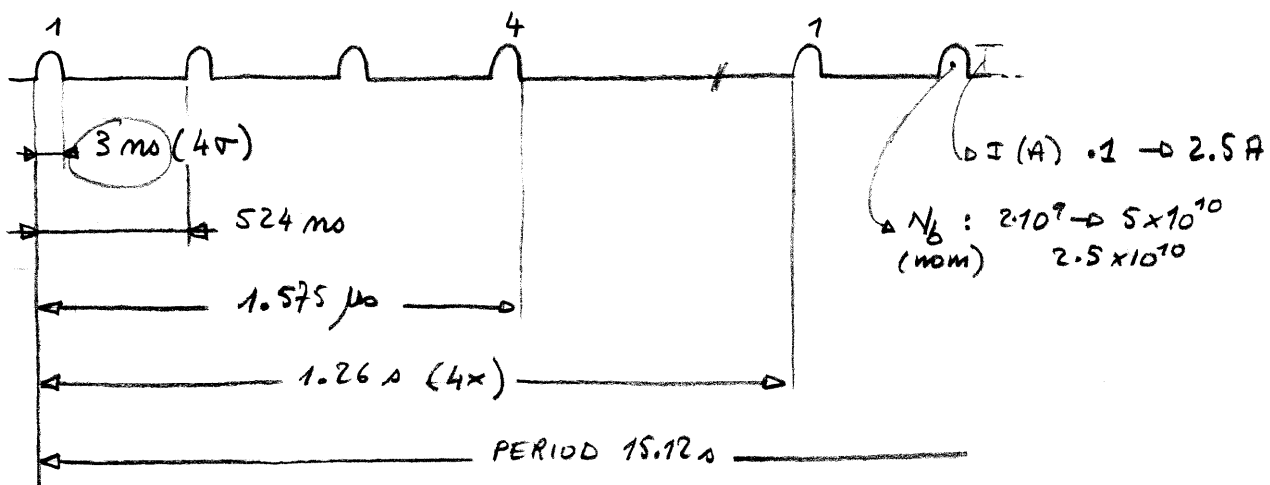
ROBINSON WIGGLER FOR PS

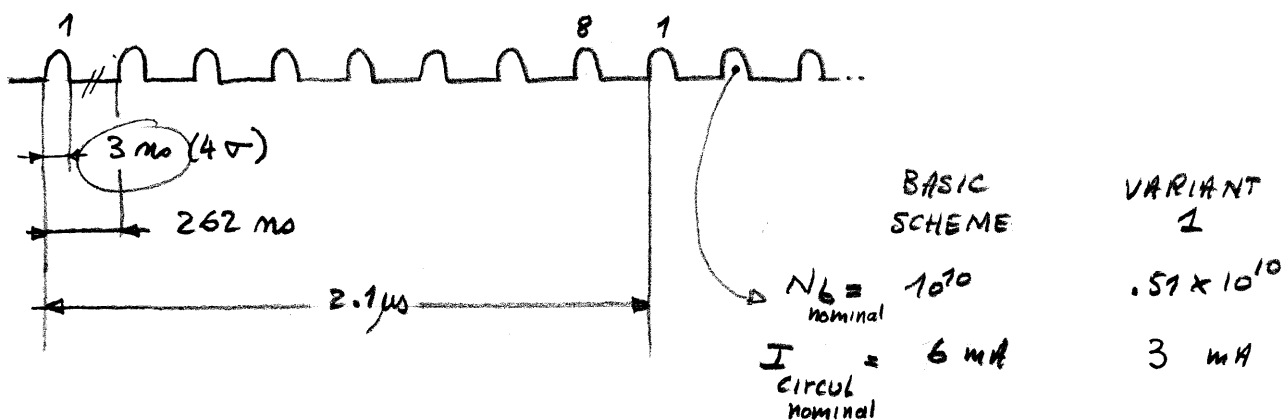
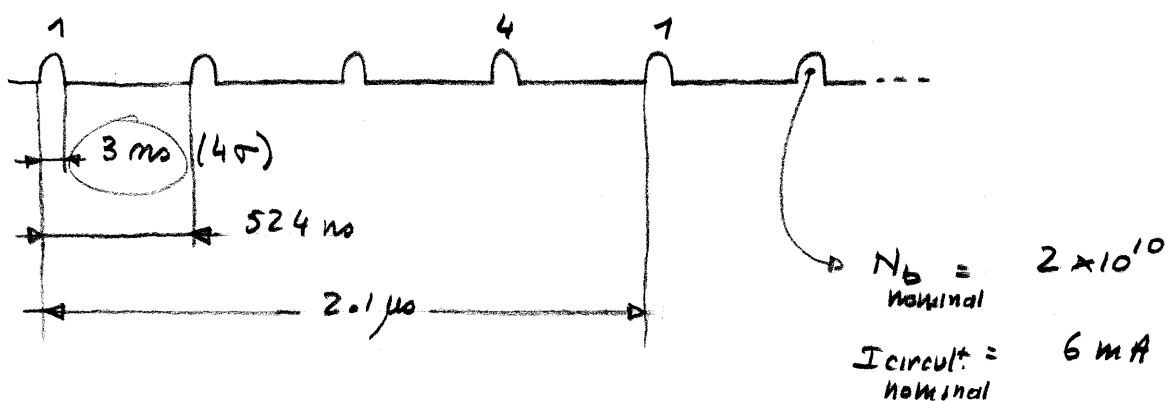
$$y = \frac{3140 \text{ mm}^2}{x}$$

56.04 \leq x \leq 130 \text{ mm}



EPA / PS TRANSFER LINE

BASIC SCHEME & VARIANT 1VARIANT 2

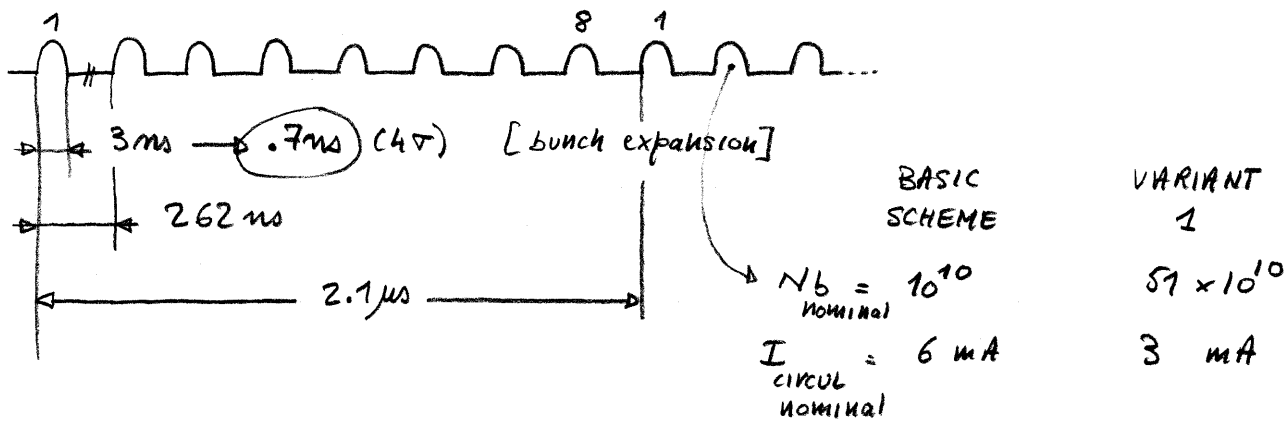
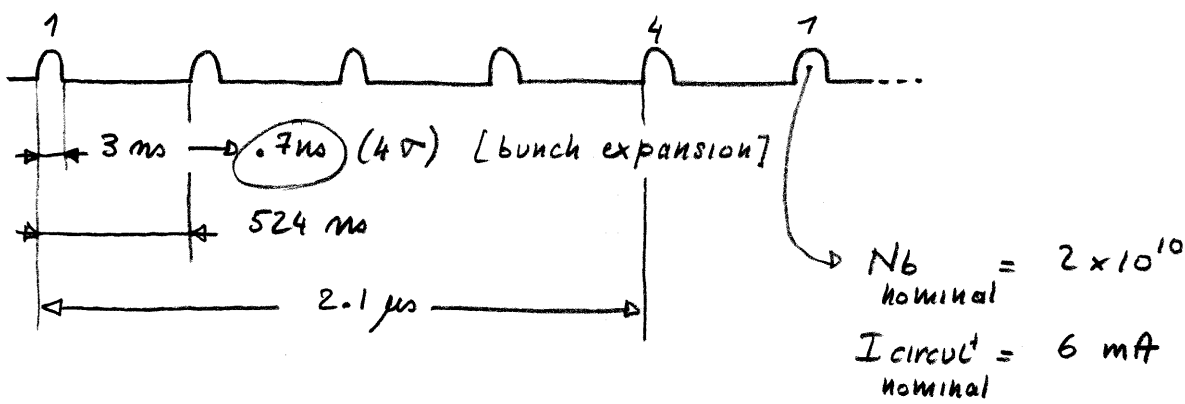
PS INJECTIONBASIC SCHEME & VARIANT 1VARIANT 2ALL SCHEMES :

$$E = 600 \text{ MeV}$$

$$\frac{\Delta E}{E} = \pm 6 \times 10^{-4} \quad (\pm 1\sigma)$$

$$\epsilon_H = .58 \pi \text{ mm mrad} \quad (\pm 2\sigma)$$

$$\epsilon_{V_{\text{max}}} = .28 \pi \text{ mm mrad} \quad (\pm 2\sigma)$$

BASIC SCHEME & VARIANT 1VARIANT 2PRIOR TO TRANSFER (ALL SCHEMES)

$$E = 3.5 \text{ GeV}$$

$$\frac{\Delta E}{E} = \pm .92 \times 10^{-3} \quad (\pm 1\sigma)$$

$$4\sigma_s = 2 \text{ ns}$$

BUNCH EXPANSION

$$\Sigma_H (\pm 2\sigma)$$

$$.18 \pi \text{ mm mrad}$$

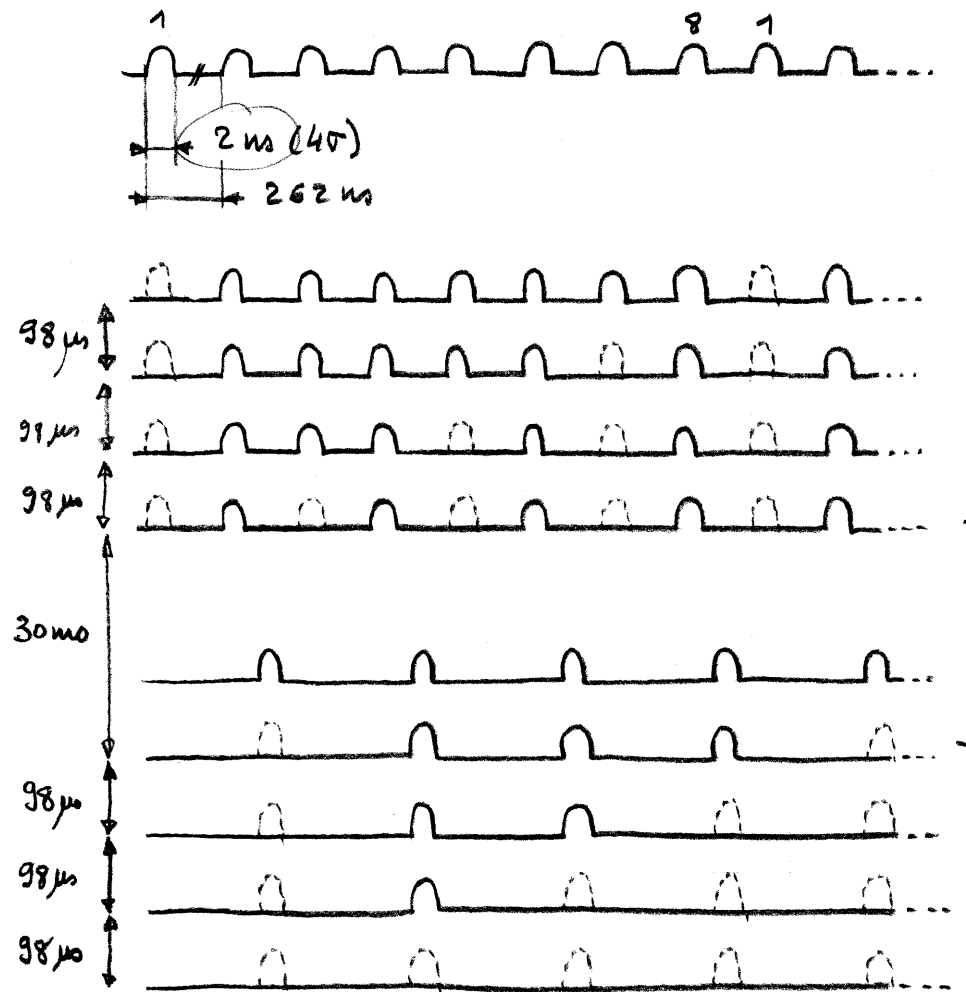
BUNCH COMPRESSION

$$4 \pi \text{ mm mrad}$$

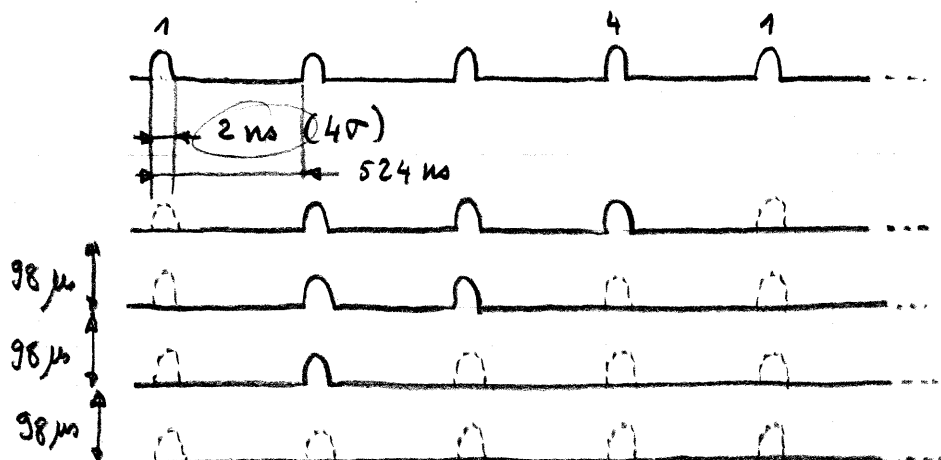
$$\Sigma_V (\pm 2\sigma) \\ (\text{coupling max})$$

$$.09 \pi \text{ mm mrad}$$

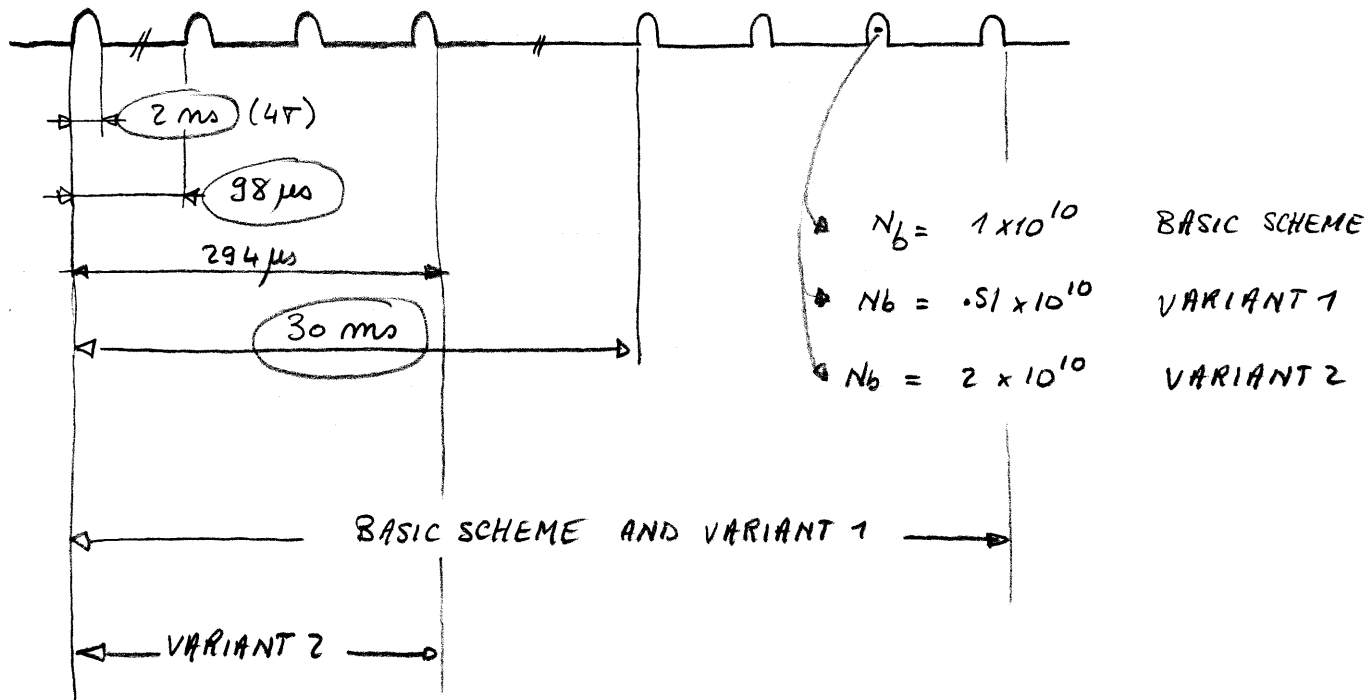
$$2 \pi \text{ mm mrad}$$

BASIC SCHEME AND VARIANT 1

~ INTENSITIES
AS FOR ACCELERATION

VARIANT 2

PS / SPS TRANSFER LINE



$$E = 3.5 \text{ GeV}$$

$$\frac{\nabla e}{e} = \pm 0.92 \times 10^{-3} \quad (\pm 1\%)$$

$$4 \nabla s = 2 \text{ ms}$$

BUNCH EXPANSION

$$\epsilon_H (\pm 2\%)$$

$$0.18 \pi \text{ mm.mrad}$$

BUNCH COMPRESSION

$$4 \pi \text{ mm.mrad}$$

$$\epsilon_V (\pm 2\%)$$

(cautious Max)

$$0.09 \pi \text{ mm.mrad}$$

$$2 \pi \text{ mm.mrad}$$

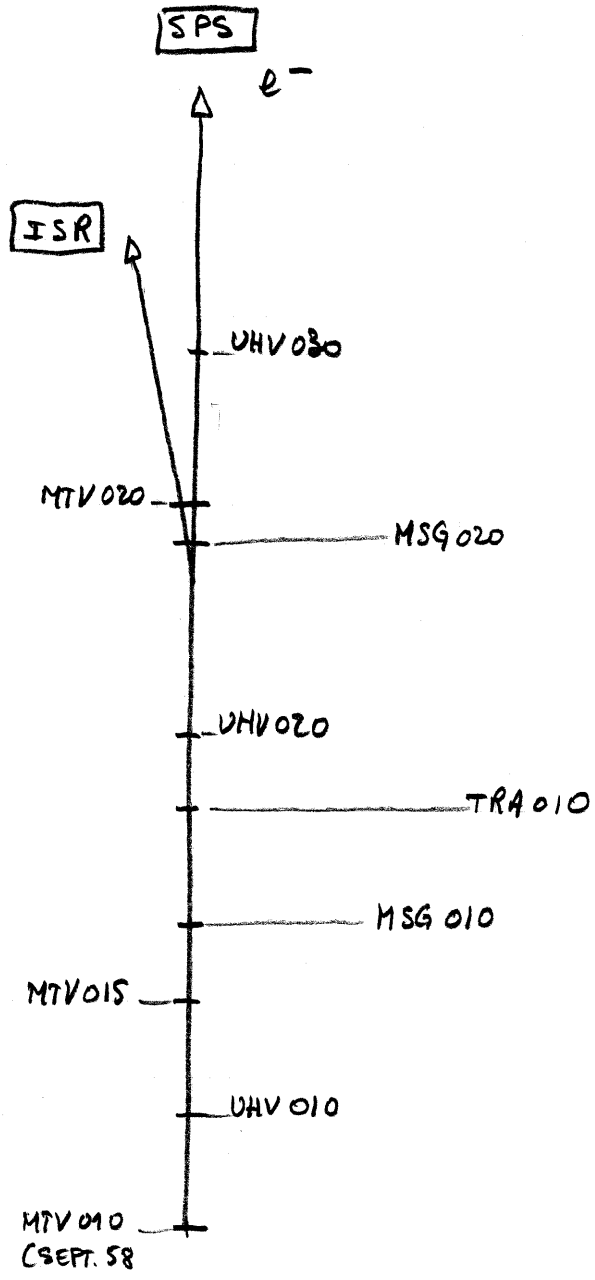
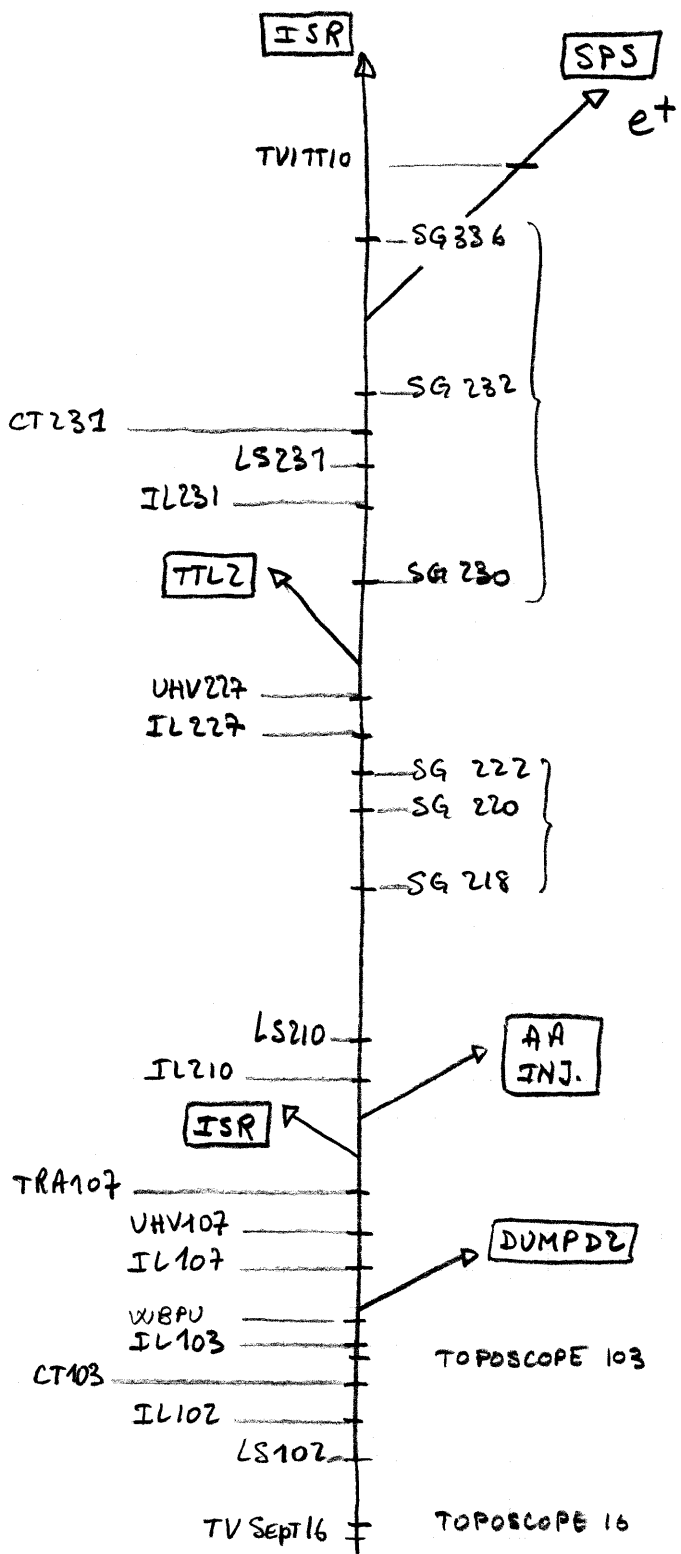
BEAM MONITORING

ANNEXE III.1

JPR 23/11/82

	BEAM CHARACTERISTIC TO BE MEASURED	MEASURING DEVICE	QUANTITY	NEW OR EXISTING (and to be adapted)
EPN - PS TRANSFER LINE	Intensity at injection point	transfo	2	N
	longitudinal beam profile in transfer line (checking of time spectra)	transfo		N
	beam position at injection point	PV (and screen for running-in)	2	N
	transverse beam profile	SEM Grids (shared with EPN)	2	N
INJECTION	Injected intensity and injection efficiency + Analog signal	transfo	1	E
	beam position or beam profile at injection septum	SEM-Grid	2H + 2V	N
	transverse beam profile transverse emittance matching (β, α_p)	SEM Grids + Stoppers	3H + 3V (1 or 2)	N
	Injected beam position } beam radial position } Injection oscillations }	PV GDD PV's ? Screen ?	6 (+2 for Beam control) 40	NEE
ACCELERATION	Circulating Intensity	transfo		E
	longitudinal beam profile (bunch length) }	- Directional coupler SS98	+ 1	E
	Energy spread }	- Synchrotron light Monitor	1	N
	Bunch stability }	- WBPU ? (SS92)	1	E
		- Resistive Wall Monitor	1	N

ACCELERATION	Φ measurements transverse beam profile	Φ meter wire scan? Sync. light mon.	1 1	E E N
	Closed orbit Beam Radial position	code PU's chronos	40	E E
	circulating bunches	transfo		E
	Beam losses at ejection (recorders)	BLT?		E
EJECTION AND PS - SPS TRANSFER LINE	Ejected intensity for each batch of 4 bunches Ejected efficiency	transfo	2	E
	longitudinal beam profile in transfer line	WB PU Resistive Wall Monitor	2	E (1 to be installed) (to be installed)
	transverse beam profile transverse emittances Matching (β, α_p)	3 SEM Grids	2	E (e^+) E_{SPS} (e^-)
	Beam position in transfer line	PU to Screens Split foils		E E E_{SPS}



5 TV SCREENS
3 BEAM POSITION MON.
4 TRANSFOS
2 x 3 SEM-GRIDS
2 TOPOSCOPES

3 TV SCREENS
3 BEAM POSITION MON.
1 TRANSFO
(1 PV to be installed)

TTZ & TT70 BEAM MONITORING